

A-site Sr 및 B-site Ca 첨가 BaTiO_3 세라믹스의 유전특성

박재관 · 오태성 · 김윤호

한국과학기술연구원 정밀요법연구실

(1991년 1월 3일 접수)

Effects of A-Site Sr and B-Site Ca Substitution on the Dielectric Properties of BaTiO_3 Ceramics

J.G. Park, T.S. Oh and Y.H. Kim

Fine Ceramics Lab., Korea Institute of Science & Technology

(Received January 3, 1991)

요약

BaTiO_3 의 Ba-site에 Sr을, Ti-site에는 Ca을 첨가한 $\text{Ba}_{1-x}\text{Sr}_x\text{Ti}_{1-y}\text{Ca}_y\text{O}_{3-y}$ 세라믹스에서 $0 \leq x \leq 0.24$, $0 \leq y \leq 0.05$ 범위의 조성을 대하여 유전특성을 조사하고, Ca이온의 Ti-site 치환과 그에 따른 길연저항의 내환원성을 확인하였다. Ca 첨가에 의하여 격자상수의 비 c/a 가 감소하고 unit cell 부피가 증가하였으며 큐리온도가 저온으로 이동하였는데, 이는 Ca의 Ti-site 치환에 의한 결과이다. Ca 첨가에 의한 큐리온도의 감소율은 Ba-site의 Sr 치환에 의한 영향으로 2% 범위내의 Ca mol%당 $x=0$ 일 때의 20°C 로부터 $x=0.08$ 일 때 16°C 로 낮아졌다. 환원소성에 의하여 Ca이 첨가되지 않은 조성에서는 Sr 첨가량에 관계없이 비저항이 $10^7 \Omega\text{cm}$ 로 낮아졌으나, 0.5 mol% 이상의 Ca 첨가시에는 $10^{11} \Omega\text{cm}$ 이상을 유지하였다. 유전손실계수 $\tan\delta$ 는 대부분의 조성에서 1% 내외로 양호하였다.

ABSTRACT

Dielectric properties of $\text{Ba}_{1-x}\text{Sr}_x\text{Ti}_{1-y}\text{Ca}_y\text{O}_{3-y}$ ceramics, where Sr and Ca were doped to Ba-site and Ti-site within the range of $0 \leq x \leq 0.24$ and $0 \leq y \leq 0.05$, respectively, were investigated. The substitution of Ca for Ti, which maintained the high resistivity of these formulations after sintering in a reducing atmosphere, was confirmed. Ca addition decreased the tetragonality c/a , increased the unit cell volume, and lowered Curie temperature, which were attributed to the occupancy of Ca^{2+} ions on Ti-sites. The lowering of Curie temperature by Ca addition was affected by the substitution of Sr for Ba-site; within 2 mol% of Ca, Curie temperature was lowered at a rate of 20°C and 16°C per mol% of Ca at $x=0$ and $x=0.08$, respectively. Whereas the resistivity of the formulations without Ca was reduced to $10^7 \Omega\text{cm}$, when sintered at low oxygen partial pressure of 10^{-9} MPa , the resistivity value higher than $10^{11} \Omega\text{cm}$ was maintained for the formulations containing Ca more than 0.5 mol%. Dielectric loss factor, $\tan\delta$, was about 1% for most formulations.

1. 서 론

전자회로의 고집적화에 크게 기여하고 있는 적층 세라믹 캐피시터에 있어서 제조원가 절감을 위해 내부 전극으로 비금속(base metal) 물질을 이용하고자 하는 연구가 활발히 진행되어 왔다¹⁾. 그 중에서도 비금속 전극과 유전체를 환원분위기에서 동시에 소성하는 방법이 주목받고 있는데, 여기에는 환원소성에 의해서도 높은 절연저항을 유지하는 세라믹 유전체의 개발이 관련이

되고 있다. 그러한 특성을 가진 유전체로서는 BaTiO_3 에서 2기이온 대 4기이온의 비를 1보다 크게 되도록 Ca을 첨가한 조성물이 알려져 있다^{2,3)}. 이 조성물에 있어서의 내환원성의 원인에 대해서는 Ca^{2+} 이온의 일부가 B-site(Ti-site)에 들어가 Ca_{11} 로서 acceptor 역할을 하기 때문이라고 설명하고 있으나⁴⁻⁵⁾ 과잉의 2기이온이 A-site 고유결함을 채움으로서 A-site 결함의 감소에 따라 고유산소결함의 발생이 억제되기 때문이라는 주장도 있다⁶⁾. 또한 BaTiO_3 에서 2기이온 대 4기이온의 비가 1

인 경우의 Ca 치환에 의해서도 내환원성이 얻어진다는 보고⁷⁾에서는 Ca의 A-site 치환에 의하여 산화 및 환원 반응의 표준 엔탈피값이 변화됨으로써 저산소분압에서의 전자의 발생이 억제된다고 설명하고 있다.

BaTiO₃에서의 Ca의 B-site 치환을 다룬 기존의 연구⁸⁻¹⁰⁾에서는 주로 $(\text{Ba}_{1-x}\text{Ca}_x)_m\text{TiO}_{2+m}$, $m > 1$ 으로 표시되는 A-site 과잉의 조성식을 기초로 함으로써 Ca이 A-site와 B-site에 동시에 치환되는 결과가 되어 Ca의 B-site 치환에 의한 효과만을 독립적으로 고찰하는데 어려움이 따랐다. 따라서 본 연구에서는 BaTiO₃에서 큐리온도의 유용한 shifter이며 B-site에의 치환이 매우 어려운 것으로 알려진¹¹⁾ Sr²⁺ 이온에 의한 A-site 치환과 Ca²⁺ 이온에 의한 B-site 치환을 전재로 하여 얻어지는 $\text{Ba}_{1-x}\text{Sr}_x\text{Ti}_{1-x}\text{Ca}_x\text{O}_3$ 의 조성식을 기초로, $0 \leq x \leq 0.24$, $0 \leq y \leq 0.05$ 범위의 Sr 및 Ca 첨가량에 따른 격자상수, 큐리온도 및 절연저항의 변화를 알아봄으로써 Ca²⁺ 이온의 Ti-site 치환 여부를 확인하고, 소결 및 유전 특성 등을 조사하여 비금속 전극과의 동시소성용 유전체로 이용할 수 있는 조성을 찾고자 하였다.

2. 실험방법

본 연구에 있어서의 원료로는 BaCO₃, SrCO₃ 및 TiO₂의 경우 99.8% 이상의 고순도 분말을, CaCO₃의 경우 98%의 시약을 사용하였다. 모든 조합물은 polyethylene jar에 분산매인 증류수 및 치르코니아 볼과 함께 넣어 12시간 동안 혼합한 후 건조되었다. 얻어진 분말을 1100°C에서 2시간 동안 하소한 후 24시간 밀링하여 건조시키고 PVA 수용액을 소량 가하여 원통형 금형에서 1200 kg/cm²의 압력으로 직경 1 cm, 두께 약 1 mm의 디스크를 성형하였다. 소성은 투브형 전기로를 이용하여 1400°C에서 2시간 동안 행하였다. 환원분위기의 경우 CO₂/CO 혼합가스를 이용하였으며 산소분압은 치르코니아 센서로 측정하였다. 소결 후 연마된 시편의 양면에 Au를 sputtering하여 전극을 형성시켰다. 각 시편의 절연저항은 High Resistance Meter[Hewlett Packard, 4329A]로, 유전율은 LCR Meter[Hewlett Packard, 4263A]로 측정하였다. 유전율의 온도에 따른 변화를 측정하는데 있어서의 온도조절에는 Temperature Test Chamber[Heraeus VMT 04/16]를 사용하였다. 격자상수는 소결시편을 분쇄한 분말에 대한 X선 회절분석을 통하여 구하였으며, 소결 시편의 미세조직은 주사전자현미경(SEM)을 사용하여 관찰하였다.

3. 결과 및 고찰

3.1. X-선 회절분석

Table 1에 본 실험에서 얻은 일부 조성물에 대한 XRD 분석결과를 실었으며, $\text{Ba}_{1-x}\text{Sr}_x\text{Ti}_{1-y}\text{Ca}_y\text{O}_3$, 조성에서 $y = 0.005$ 일 때 x 값에 따른 격자상수의 변화를 Fig. 1에, $x = 0$ 일 때와 $x = 0.08$ 일 때의 y 값에 따른 정방성(tetragonality), c/a 와 unit cell 부피의 변화를 Fig. 2에 각각 나타내었다.

Fig 1에서 A-site의 Sr 치환량이 증가함에 따라서 c 축과 a축 모두 감소하여 unit cell 부피가 줄어들며 c/a 도 약간씩 감소하였는데, 이는 Sr의 A-site 치환에 대한 기존의 연구결과⁸⁻¹⁰⁾와 잘 일치한다.

Table 1 및 Fig. 2에 시와 같이 B-site의 Ca 침가량이 증가함에 따라, Sr의 A-site 치환 여부에 관계없이, c축은 감소하고 a축은 증가하여 c/a 가 크게 감소하며 unit cell 부피는 약간씩 증가하였다. Ca이 A-site에 치환되는 경우에는 c축과 a축 모두 감소하고 c/a 는 거의 일정하게 유지되므로¹¹⁻¹³⁾, 이 결과는 2 mol% 이내의 Ca은 대부분이 stoichiometry에 맞게 B-site에 치환됨을 의미한다.

Fig. 2에서 y 값에 따른 unit cell 부피의 증가율이 $x = 0$ 일 때보다 $x = 0.08$ 일 때 더 작게 나타나고 있는데, 이는 이온반경이 큰 Ca의 Ti-site 치환에 의한 unit cell 부피 증가분의 일부가 Sr의 A-site 치환에 의한 부피감소에 의하여 흡수되기 때문으로 판단된다.

Ca이 3 mol% 이상 첨가된 조성에서는 2가이온 데 4

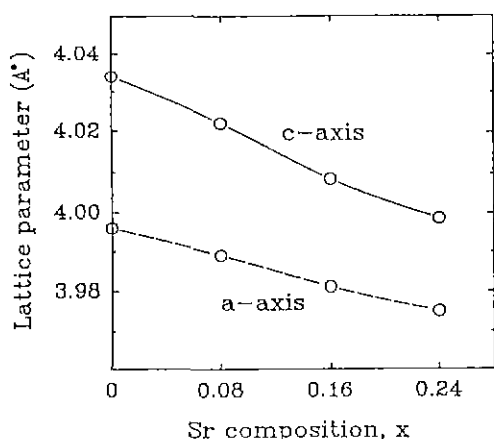
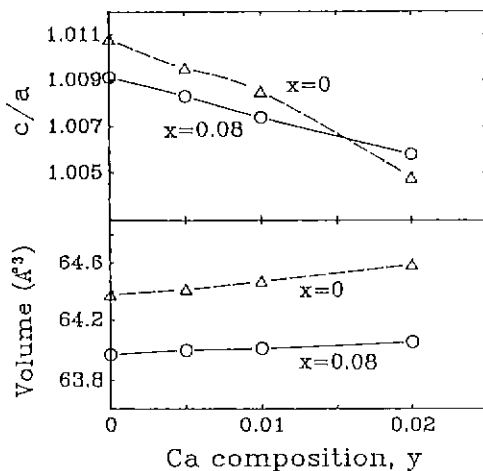
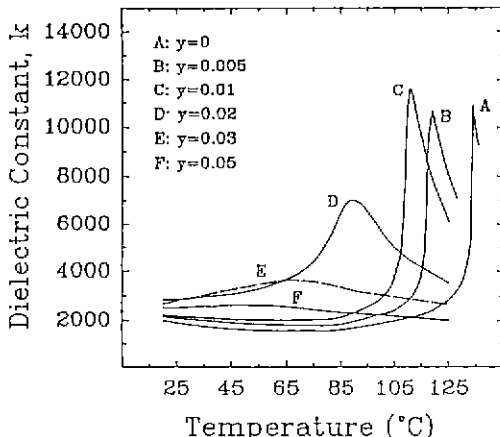
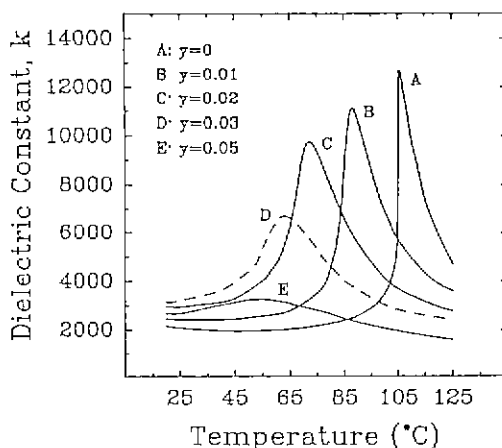
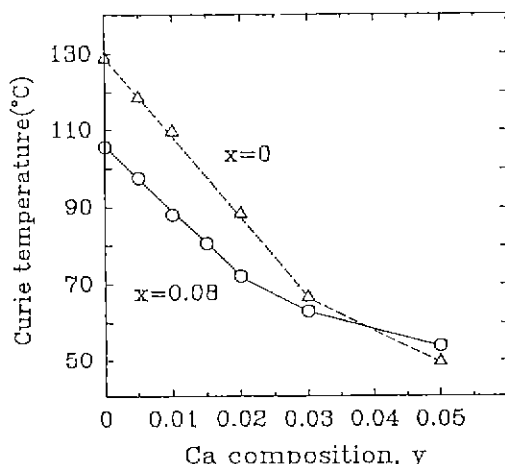


Fig. 1. The change of lattice parameters with the Sr composition x in $\text{Ba}_{1-x}\text{Sr}_x\text{Ti}_{0.995}\text{Ca}_{0.005}\text{O}_{2.995}$ ceramics.

Table 1. Lattice Parameters of Ba_{1-x}Sr_xTi_{1-y}Ca_yO_{3-y} Ceramics at Room Temperature

x	y	c(Å)	a(Å)	c/a	V(Å ³)
0	0	4.0366	3.9934	1.0108	64.363
	0.005	4.0340	3.9960	1.0095	64.415
	0.01	4.0325	3.9984	1.0085	64.468
0.08	0	4.0235	3.9874	1.0091	63.971
	0.005	4.0220	3.9890	1.0083	63.999
	0.01	4.0200	3.9904	1.0074	64.012
	0.02	4.0166	3.9934	1.0058	64.054

**Fig. 2.** The changes of tetragonality and unit cell volume with the Ca composition y in BaTi_{1-y}Ca_yO_{3-y} and Ba_{0.92}Sr_{0.08}Ti_{1-y}Ca_yO_{3-y} ceramics.**Fig. 3.** The temperature dependence of dielectric constant k of BaTi_{1-y}Ca_yO_{3-y} ceramics (at 1 kHz).**Fig. 4.** The temperature dependence of dielectric constant k of Ba_{0.92}Sr_{0.08}Ti_{1-y}Ca_yO_{3-y} ceramics (at 1 kHz).**Fig. 5.** The lowering of Curie temperature with the Ca composition y in BaTi_{1-y}Ca_yO_{3-y} and Ba_{0.92}Sr_{0.08}Ti_{1-y}Ca_yO_{3-y} ceramics.

가이온의 비가 2:1인 orthotitanate로 편단되는 2차상의 회절 peak가 나타났는데, 그 폭과 강도는 Ca 첨가량이 많을수록 증가하였다. 이로부터 Ca의 Ti-site 치환 고용 학계가 2% 정도임을 알 수 있다.

3.2. 유전특성

x=0일 때와 x=0.08일 때 y값의 변화에 따른 유전율의 온도특성을 Fig. 3과 Fig. 4에 각각 실었으며 그 큐리온도의 변화를 Fig. 5에 나타내었다. y값 즉 B-site에의 Ca 첨가량에 따른 큐리온도의 변화는 x=0.08일

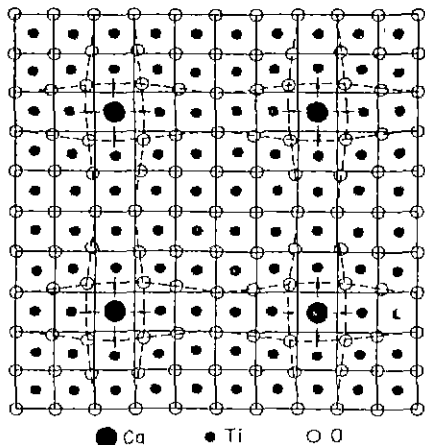


Fig. 6. A schematic illustration of the distorted structure of B-site Ca-doped BaTiO_3 ¹⁵⁾.

때는 2% 범위내의 Ca mol%당 약 16°C, $x=0$ 일 때는 3% 범위까지의 Ca mol%당 약 20°C의 급격한 감소를 보였다. Ca이 A-site에 치환되는 경우에는 큐리온도가 거의 변하지 않으므로¹¹⁻¹³⁾, 이와 같은 큐리온도의 급격한 감소는 Ca의 B-site 치환에 따른 현상이다. Ni^{2+} , Zn^{2+} 등의 2가이온이 Ti^{4+} 이온을 치환하는 경우에는 전하보상을 위한 산소 vacancy의 생성에 의한 격자 수축이 일어나 큐리온도가 크게 감소된다¹⁴⁾. 그러나 Ca^{2+} 이온의 Ti-site 치환시에는 Fig. 2에서와 같이 치환량의 증가에 따라 unit cell 부피가 직선적으로 증가하고 있어 B-site의 Ca 치환이 산소 vacancy 생성에 의한 격자 수축을 능가하는 부피 팽창을 일으킬 수 있으며, 이는 Ca^{2+} 의 이온반경이 Ni^{2+} , Zn^{2+} 등과 달리 Ti^{4+} 의 이온반경에 비하여 훨씬 크기 때문이다. 따라서 본 연구에서의 큐리온도 감소는 산소 vacancy 형성에 따른 격자수축에 의해서가 아니라, Fig. 6에 표시된 바와 같이 B-site에 Ca이 치환된 unit cell의 뒤틀림(distortion)으로 인하여 인접 unit cell들에 유기되는 압축응력(compressive stress)¹⁵⁾에 의하여 일어난다.

A-site와 B-site를 모두 Ca으로 치환한 $\text{Ba}_{1-x}\text{Sr}_x\text{Ti}_{1-y}\text{Ca}_{y}\text{O}_3$ -계에 대한 기존의 연구¹⁵⁾에 있어서는 B-site의 Ca 첨가 mol%당 큐리온도의 감소율이 $x=0$ 일 때 3% 범위까지 17°C, $x=0.05$ 일 때 2% 범위까지 35°C로 보고되었다. A-site의 Ca 치환이 있는 경우가 그렇지 않은 경우보다 B-site에의 Ca 첨가량에 따르는 큐리온도 감소율이 높은데 대해서는, Ba보다 이온반경이 작은 Ca의 A-site 치환에 의하여 Ca의 B-site 치환이 용이해짐으로써 B-site의 Ca 점유량이 늘어나 격자 뒤틀림(lattice dis-

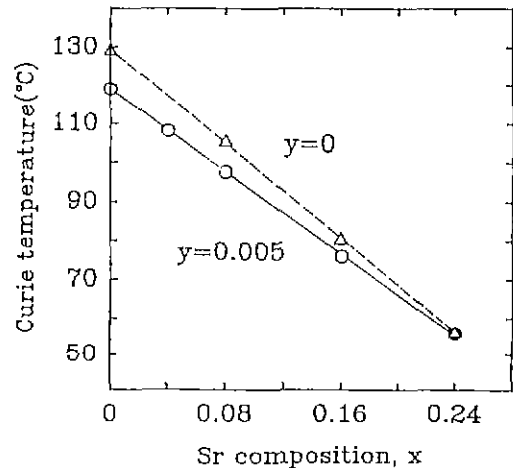


Fig. 7. The lowering of Curie temperature with the Sr composition x in $\text{Ba}_{1-x}\text{Sr}_x\text{TiO}_3$ and $\text{Ba}_{1-x}\text{Sr}_x\text{Ti}_{0.995}\text{Ca}_{0.005}\text{O}_{2.995}$ ceramics.

tortion)이 증가하는 것으로 설명하고 있다¹⁵⁾. 그러나 본 연구에서는, XRD에 의하여 2차상의 존재가 확인되지 않고 또 unit cell 부피 및 큐리온도 변화의 직선성이 유지되고 있는 2% 범위까지의 Ca은 A-site의 Sr 치환 유무에 관계없이 대부분이 Ti-site에 들어간다고 볼 수 있다. 따라서 A-site의 Sr 치환이 있는 경우가 그렇지 않은 경우보다 B-site의 Ca 치환에 의한 큐리온도의 감소율이 낮게 나타난 본 연구의 결과에서는, B-site의 Ca 치환에 의한 큐리온도의 감소효과가 A-site의 Sr 치환에 의하여 일부 흡수수밀된 것으로 판단된다. 즉, 큐리온도의 이동에 미치는 내부응력 효과를 고려하면, Ca의 B-site 치환에 의해 인접 unit cell에 유기되는 압축응력은 A-site의 Sr 치환에 의한 unit cell의 수축에 의해 일정 부분 흡수될 수 있으므로, A-site에의 Sr의 도입이 B-site의 Ca 치환에 의한 큐리온도의 이동효과를 감소시킨다. Ca의 Ti-site 치환량에 따르는 unit cell 부피의 변화율이 Sr의 A-site 치환이 있는 경우가 그렇지 않은 경우보다도 더 낮게 나타나고 있는 Fig. 2의 결과는 이와 같은 해석을 뒷받침한다.

Fig. 7에 $y=0$ 일 때와 $y=0.005$ 일 때의 x 값의 변화에 따르는 큐리온도의 변화를 나타내었다. 기존의 많은 연구를 통하여 $\text{Ba}_{1-x}\text{Sr}_x\text{TiO}_3$ 의 큐리온도는 Sr량이 증가함에 따라서 Sr mol%당 1.8°C~3.9°C 정도의 비율로 직선적으로 감소하는 것으로 보고되어 있으며^{8,10,16,17)} 그 원인은 hydrostatic pressure의 효과와 마찬가지의 unit cell의 수축으로 해석되고 있다^{13,18,19)}. 본 연구에서는 Fig.

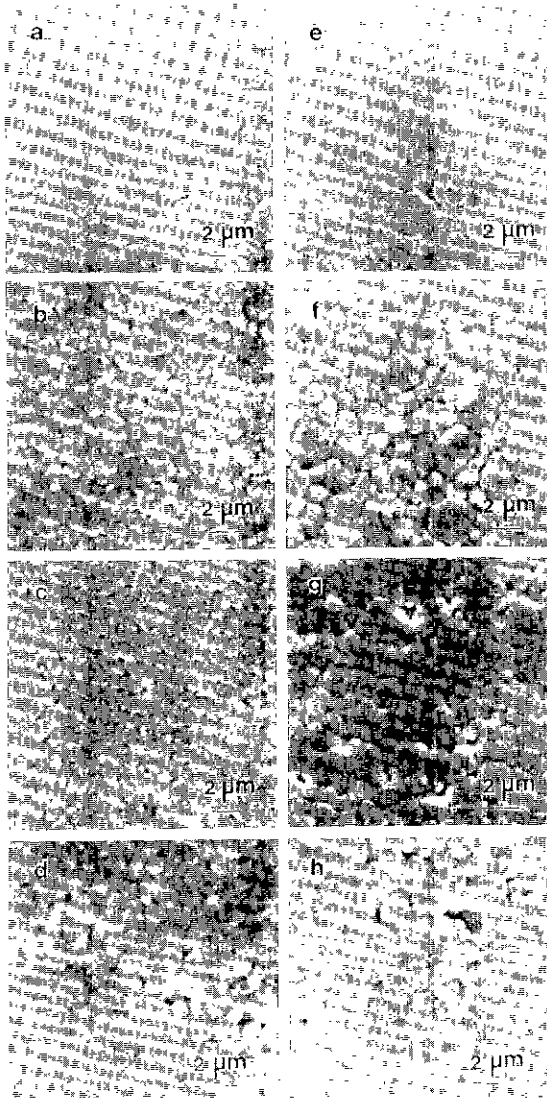


Fig. 8. SEM micrographs of polished and thermally etched surfaces of $\text{BaTi}_{1-y}\text{Ca}_y\text{O}_{3-y}$ ceramics sintered at 1400°C for 2 hours in air. (a) $x=0$, $y=0.01$, (b) $x=0$, $y=0.02$, (c) $x=0$, $y=0.03$, (d) $x=0$, $y=0.05$, (e) $x=0.08$, $y=0.01$, (f) $x=0.08$, $y=0.02$, (g) $x=0.08$, $y=0.03$, (h) $x=0.08$, $y=0.05$.

7에 나타난 바와 같아 24%까지의 Sr mol%당 B-site에 Ca 치환이 없을 때 즉 $y=0$ 일 때는 3.0°C, $y=0.005$ 일 때는 약 2.7°C 정도의 감소율을 나타냈다. 이러한 B-site 치환 유무에 따른 큐리온도 차이도 Sr의 A-site 치환에 의하여 상쇄되기 때문이다.

유전율의 온도에 따른 변화를 나타낸 Fig. 3과 Fig. 4

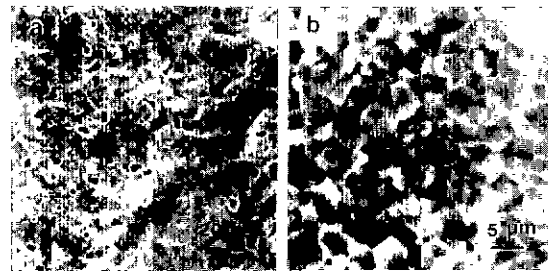


Fig. 9. SEM fractographs of $\text{Ba}_{1-x}\text{Sr}_x\text{Ti}_{1-y}\text{Ca}_y\text{O}_{3-y}$ ceramics sintered at 1400°C for 2 hours in air. (a) $x=0.08$, $y=0$, (b) $x=0.08$, $y=0.005$.

에서 큐리 피크가 y 값 즉 Ca 첨가량의 증가에 따라 broad해져, $x=0$ 일 때 $y \geq 0.03$ 인 조성과 $x=0.08$ 일 때 $y=0.05$ 인 조성의 경우에는 유전율-온도 특성이 매우 평坦하게 나타났다. 이와 같은 큐리피크의 broadening 현상은 Ca 첨가량이 증가함에 따라 입자 성장이 억제되어 입자 크기가 미세해지는데 기인하는 것으로 판단된다. 즉, BaTiO_3 나 PZT계의 강유전성 세라믹스에 있어서 입자크기가 약 1 μm 이하로 감소되면, ferroelectric 90° domain의 발생이 억제됨에 따라 상전이시 발생하는 내부응력(internal stress)의 relaxation이 어렵게 되어 결정격자가 tetragonal에서 pseudocubic으로 변하며 이에 따라 큐리피크가 broad해지는 것으로 알려져 있다^{20~22}. Fig. 8의 미세조직에서 Ca 첨가량이 증가할수록 입자크기가 미세해져 1 μm 이하 크기의 입자들이 많아지고 $x=0$, $y \geq 0.03$ 인 조성과 $x=0.08$, $y=0.05$ 인 조성의 경우에는 평균 입경이 1 μm 이하로 감소되고 있음을 알 수 있다. 이러한 조성에 따른 입자크기의 변화는 Fig. 3과 Fig. 4에 나타난 큐리피크의 broadening 양상과 잘 일치한다. 한편 Ca의 B-site 치환에 의하여 unit cell에 발생되는 응력 분포(stress distribution)가 큐리피크의 broadening 기구로 제시된 바 있으나¹⁵, 이에 의해서는 본 연구에서의 고용 한계 이상의 Ca 첨가시 나타난 현저한 depressing 현상을 설명하기가 어렵다.

유전손실계수 $\tan\delta$ 는 대부분의 조성에서 상온에서부터 125°C까지의 온도범위내에서 1% 내외의 매우 양호한 값을 나타내었다.

3.3. 소결 미세구조

$\text{Ba}_{1-x}\text{Sr}_x\text{Ti}_{1-y}\text{Ca}_y\text{O}_{3-y}$ 유전체에서 $x=0.08$ 일 때 $y=0$, $y=0.005$ 인 조성의 파단면에 대한 SEM 사진을 Fig. 9에 나타내었다. Ca이 침가되지 않은 조성 즉 $y=0$ 의 경우, 입내 파괴(intragranular fracture)로 인하여 입자 경계

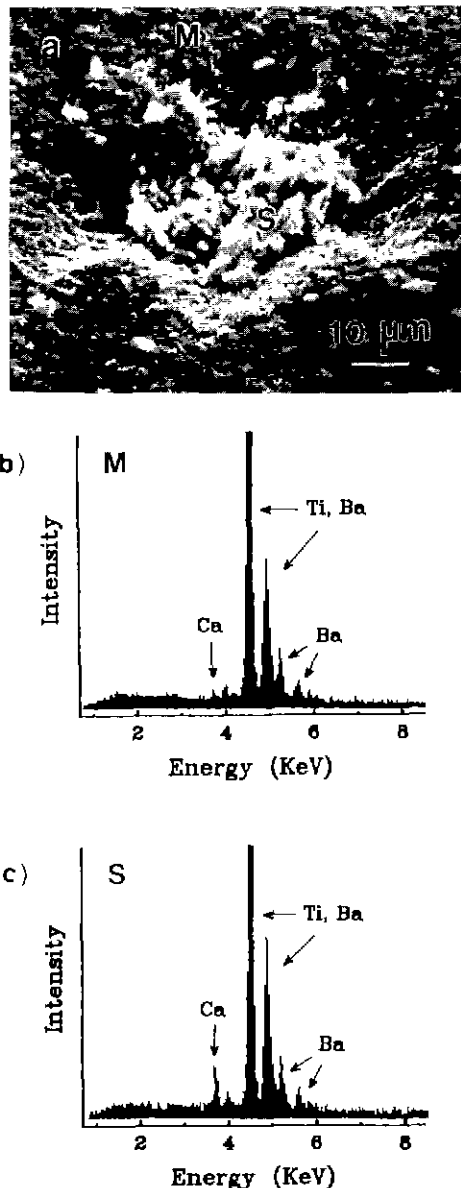


Fig. 10. (a) SEM tractograph showing second phase clusters in $\text{BaTi}_{0.97}\text{Ca}_{0.03}\text{O}_{2.97}$ ceramics sintered at 1400°C for 2 hours in air, and EDS spectra for (b) matrix grain and (c) second phase clusters.

(grain boundary)가 분명히 드러나 있지 않지만, 다수의 입내 기공과 입자간 기공이 존재하며 입자크기는 수십 μm 이상에 달하고 있음을 알 수 있다. 그러나 0.5 mol%의 Ca^{+} 첨가된 경우에는 입자크기가 수 μm 정도로 크게 감소하였고 기공량도 크게 줄어든 비교적 치밀한

미세조직이 얹어지고 있다.

$x=0$ 일 때와 $x=0.08$ 일 때 각각 $y=0.01, 0.02, 0.03, 0.05$ 인 조성의 연마면에 대한 SEM 미세구조인 Fig. 8로 부터 Ca 첨가함에 따라 입자 성장이 억제되며, 동일한 양의 Ca 첨가시에는 $x=0.08$ 일 때보다 $x=0$ 일 때 입자크기가 다소 작게 나타나고 있음을 알 수 있다.

$\text{Ca}^{+} 3 \text{ mol\%}$ 이상 첨가된 조성에서는 Sr 첨가 여부에 관계없이 Fig. 10의 파단면 SEM 미세구조에 나타난 것과 같은 수십 μm 크기의 2차상이 국부적으로 존재하였는데, XRD와 EDS 분석결과 이들은 Ca을 다량 포함하는 흡습성(hygroscopic)의 orthotitanate로 확인되었다.

3.4. 절연 저항

100 V dc에서 측정한 비저항값이 공기 분위기에서 소결한 시편들은 조성에 관계없이 $10^{11} \sim 10^{12} \Omega\text{cm}$ 정도로 나타났다. 산소 분압 10^{-9} MPa 의 환원 분위기에서 소결하였을 때는, x 값 즉 Sr 첨가량에는 관계없이, Ca을 첨가하지 않은 조성물의 경우에는 $10^7 \Omega\text{cm}$ 정도로 낮아졌으나, $\text{Ca}^{+} 0.5 \text{ mol\%}$ 이상 첨가된 경우에는 $10^{11} \Omega\text{cm}$ 이상의 값을 유지하였다. 이와 같은 Ca 첨가에 의한 절연저항의 내환원성은, Ca^{+} Ti-site에 치환됨으로써 형성되는 Ca_{1-x} 가 acceptor로 작용하여, 환원 분위기 소결시에 발생하는 unlocalized 전자를 trap함으로써 얻어진다³⁻⁵⁾.

4. 결 론

BaTiO_3 의 A-site에는 Sr을, B-site에는 Ca을 첨가한 $\text{Ba}_{1-x}\text{Sr}_x\text{Ti}_{1-y}\text{Ca}_y\text{O}_{3-y}$ 유전체의 격자상수, 유전특성 및 소결특성을 조사한 결과 다음과 같은 결론을 얻었다.

1. Ca 첨가량의 증가에 따라 c축은 감소하고 a축은 증가하여 c/a 가 1에 가까워지며, unit cell 부피는 증가하였고, 큐리온도는 저온으로 이동하였는데, 이 현상들은 Ca이 B-site를 점유하는데 따르는 것이다. Ca 첨가에 의한 큐리온도의 감소율은 Ba-site의 Sr 치환에 의한 영향을 받아 2% 범위내의 Ca mol%당, Sr 치환이 없을 때의 20°C에서, 8%의 Sr 치환시의 16°C로 낮아졌다.

2. Ca 첨가함에 따라 입자 성장이 억제되며 큐리피크의 broadening이 일어나는데, 입자크기가 약 1 μm 이하로 감소되는 Ca 첨가량 3 mol% 이상의 조성에서는 큐리피크가 크게 depress되었다. $\text{Ba}_{1-x}\text{Sr}_x\text{Ti}_{1-y}\text{Ca}_y\text{O}_{3-y}$ 유전체에서 Ca의 고용한계는 2 mol% 내외로, $\text{Ca}^{+} 3 \text{ mol\%}$ 이상 첨가된 조성에서는 흡습성의 orthotitanate가 형성되었다.

3. 산소분압 10^{-9} MPa의 환원 분위기 소성에 의하여, Ca이 첨가되지 않은 조성에서는 Sr 첨가량에 관계없이 비저항이 $10^7 \Omega\text{cm}$ 로 낮아졌으나, 0.5 mol% 이상의 Ca이 첨가된 경우에는 Ti-site에 치환된 Ca 즉 Ca_{ii}가 acceptor로 작용함으로써 $10^{11} \Omega\text{cm}$ 이상의 비저항값을 유지하였다.

4. A-site의 Sr과 B-site의 Ca의 동시 첨가에 의하여, 큐리온도가 상온 부근에 있으며 유전율의 온도계수 및 유전손실이 크지 않고 소결 밀도가 높은, 비금속 전극과의 동시소성용 유전체 제조가 가능하였다.

감사의 글

본 연구는 1990년도 과학기술처 특정연구개발사업비 지원에 의하여 수행된 것으로 이에 감사드립니다.

REFERENCES

1. 山本 博幸, “積層セラミックコンデンサ 総論・技術の現状と課題、及び市場展望,” pp. 1-6, 積層セラミックコンデンサ, ニューケラスシリーズ 编集委員会編, 学術社, 東京, 1988.
2. Y. Sakabe and H. Seno, U.S. Pat. No. 4115493, 1978.
3. Y. Sakabe, “Dielectric Materials for Base Metal Multi-layer Ceramic Capacitors”; pp. 103-115 in Advances in Ceramics, Vol. 19, The American Ceramic Society, Westerville, Ohio, 1986.
4. Y.H. Han, J.B. Appleby, and D.M. Smyth, “Calcium as an Acceptor Impurity in BaTiO₃,” *J. Am. Ceram Soc.*, **70**(2), 96-100 (1987).
5. Y. Hwang, Y.H. Kim, and S.J. Park, “The Role of Calcium as a Reduction Inhibitor in BaTiO₃,” *J. Korean Ceram. Soc.*, **27**(6), 741-746 (1990).
6. 近藤 秀信, 白崎 信一, 羽田 岴, 藤本 正之, “非化學量論組成ペロブスカイトの缺陷構造” 第27回日本セラミックス 起草討論会 (1987).
7. X.W. Zhang, Y.H. Han, M. Lal, and D.M. Smyth, “Defect Chemistry of BaTiO₃ with Additions of CaTiO₃,” *J. Am. Ceram. Soc.*, **70**(2), 100-103 (1987).
8. D.F. Rushman and M.A. Strivens, “The Permittivity of Polycrystals of the Perovskite Type,” *Trans Faraday Soc.*, **42A**, 231-238 (1946).
9. M. McQuarrie, “Structural Behavior in the System (Ba, Ca, Sr)TiO₃ and Its Relation to Certain Dielectric Characteristics,” *J. Am. Ceram. Soc.*, **38**(12), 444-449 (1955).
10. S. Kusaka, S. Ikegami, and H. Sasaki, “Dielectric Properties of Mixed Crystals of Barium Strontium Titanate,” *J. Phys. Soc. of Japan*, **14**(12), 1680-1685 (1959).
11. R.C. DeVries and R. Roy, “Phase Equilibria in the System BaTiO₃-CaTiO₃,” *J. Am. Ceram. Soc.*, **38**(4), 142-146 (1955).
12. M. McQuarrie and F.W. Behnke, “Structural and Dielectric Studies in the System (Ba, Ca)(Ti, Zr)O₃,” *J. Am. Ceram. Soc.*, **37**(11), 539-543 (1954).
13. T. Mitsui and W. Westphal, “Dielectric and X-Ray Studies of Ca_xBa_{1-x}TiO₃ and Ca_xSr_{1-x}TiO₃,” *Phys. Rev.* **124**(5), 1354-1359 (1961).
14. J.M. Herbert, Ceramic Dielectrics and Capacitors, Gordon and Breach Science Publishers, New York, 1985, p. 152.
15. Z.Q. Zhuang, M.P. Harmer, D.M. Smyth, and R.E. Newnham, “The Effect of Octahedrally-Coordinated Calcium on the Ferroelectric Transition of BaTiO₃,” Proc. 6th IEEE Int'l Symp. on Applications of Ferroelectrics, 122-125 (1986).
16. A. von Hippel, R.G. Breckenridge, F.G. Chesley, and L. Tisza, “High Dielectric Constant Ceramics,” *Ind. and Engin. Chemistry*, **38**(11), 1097-1109 (1946).
17. B. Jaffe, W.R. Cook, and H. Jaffe, Piezoelectric Ceramics, Academic Press, New York, 1971, p. 94.
18. W.J. Merz, “The Effect of Hydrostatic Pressure on the Curie Point of Barium Titanate Single Crystals,” *Phys. Rev.* **77**(7), 52-54 (1950).
19. G. Durst, M. Gotenhuis, and A.G. Barkow, “Solid Solubility Study of Barium, Strontium and Calcium Titanates,” *J. Am. Ceram. Soc.*, **33**(4), 133-139 (1950).
20. G. Arlt, D. Hennings, and G. de With, “Dielectric Properties of Fine-Grained Barium Titanate Ceramics,” *J. Appl. Phys.* **58**(4), 1619-1625 (1985).
21. H.T. Martirena and J.C. Burfoot, “Grain-Size Effects on Properties of Some Ferroelectric Ceramics,” *J. Phys. C: Solid Phys.*, Vol. 7, 3182-3192 (1974).
22. W.R. Buessem, L.E. Cross, and A.K. Goswami, “Phenomenological Theory of High Permittivity in Fine-Grained Barium Titanate,” *J. Am. Ceram. Soc.*, **49**(1), 33-36 (1966).